

Antioxidant effect of Estrogen on Bovine aortic endothelial cells

가톨릭대학교 의과대학
서울성모병원 산부인과
김미란

Journal of Steroid Biochemistry and Molecular Biology 117 (2009) 74–80

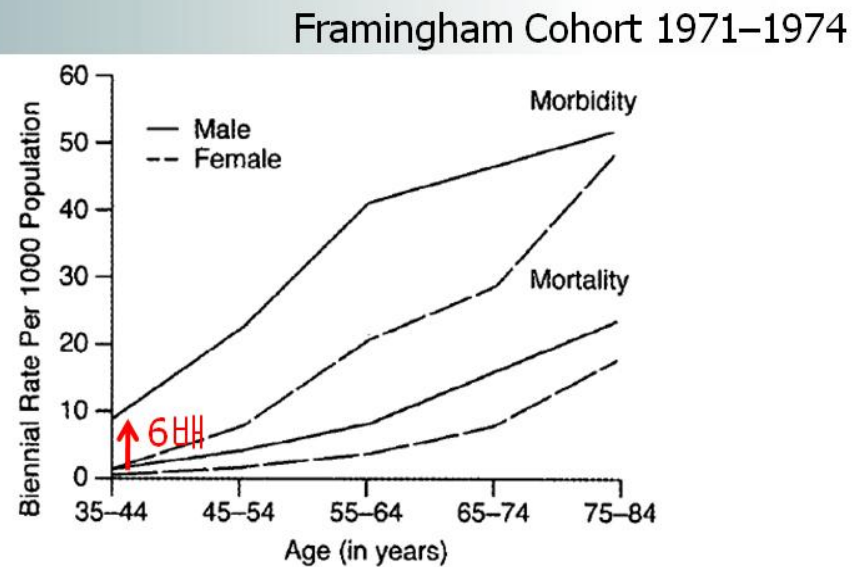
-
- ❖ Background
 - ❖ Objectives
 - ❖ Materials & Methods
 - ❖ Results & Discussion
 - ❖ Limitation
 - ❖ Conclusion

폐경이행기(Menopausal transition)

- ❖ Declining estrogen levels
 - > multifarious metabolic and physiologic changes
 - > strongly associated with increased incidence of hypertension and susceptibility to CVD

Menopause and CVD

Incidence of coronary heart disease morbidity and mortality



Age (y)	Average annual rate per 1 000							
	All CV events ^a		CHD		Stroke		CHF	
	Men	Women	Men	Women	Men	Women	Men	Women
35-64	18	9	14	6	3	2	3	2
65-94	43	30	27	17	12	11	11	9
Risk ratio ^b	2.4	3.3	1.9	2.8	4.0	5.5	3.7	4.5

a Also includes peripheral vascular disease.

b $(65-94)/(35-64)$.

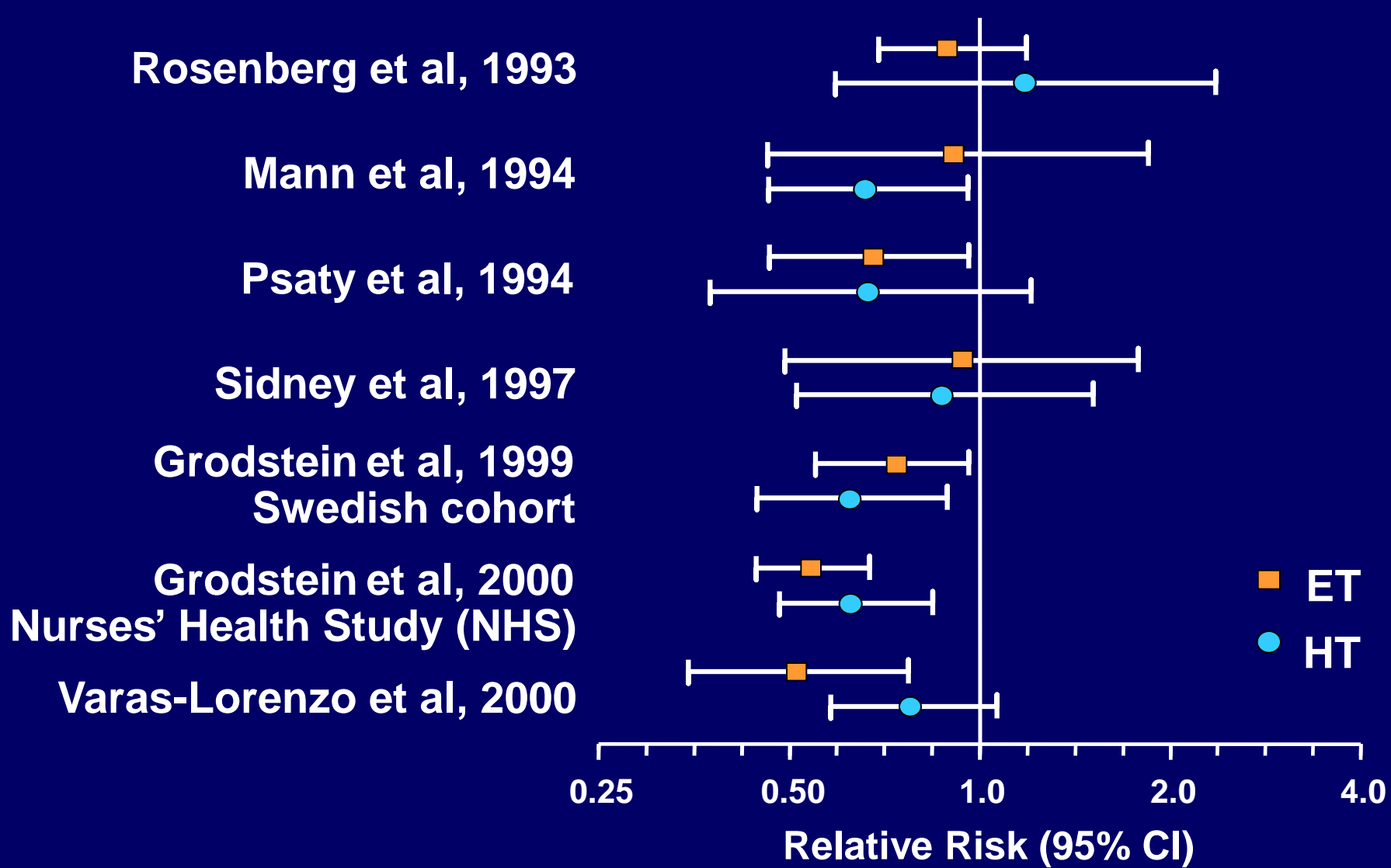
CHD = coronary heart disease; CHF = congestive heart failure; CV = cardiovascular.

Am Heart J. 1986;111:383-390 ; Kannel WB, Prev Cardiol 1998

Menopause and CVD

- ❖ Mainly due to Estrogen deficiency
 - Change in body composition
: android type fat distribution
 - Metabolic syndrome
 - More atherogenic lipoprotein profile
 - Impaired fibrinolytic potential

Observational Studies of CVD Risk: ET Compared With HT



Women's Health Initiative (WHI) Study Outline

end in March 2005 F/U : 8.5 yrs

AGE 50-79 (mean 63)

<Outcomes>

- Primary outcome

Coronary heart diseases (CHD)

non-fatal myocardial infarction and CHD death

- Secondary outcome

Stroke, Venous Thromboembolism,

Colorectal Cancer, Osteoporosis-related fractures,

all-cause Mortality

-Primary adverse outcome

stopped in Feb. 2004 F/U : 6.8 yrs
invasive breast cancer

stopped in May, 2002
F/U : 5.2 yrs

CEE(0.625r)



WHI clinical outcome

Event	Relative Risk CEE/MPA vs. placebo (Hazard ratio)	Relative Risk CEE vs. placebo (Hazard ratio)
<i>CHD event</i>		
Nonfatal MI	1.29 (1.02–1.63)*	0.91 (0.75–1.12)
CHD death	1.32 (1.02–1.72)*	0.94 (0.65–1.36)
Invasive breast cancer	1.18 (0.70–1.97)	0.84 (0.70–1.12)
<i>Stroke</i>		
	1.41 (1.07–1.85)*	1.39 (1.10–1.77)*
<i>Pulmonary embolism</i>		
	2.13 (1.39–3.25)*	1.34 (0.87–2.06)
Colorectal cancer	0.63 (0.43–0.92)*	1.03 (0.75–1.55)
Endometrial cancer	0.83 (0.47–1.47)	–
Hip fracture	0.66 (0.45–0.98)*	0.61 (0.41–0.91)*
Vertebral fracture	0.66 (0.44–0.98)*	0.62 (0.42–0.93)*
Death due to causes other than events above Global index	0.92 (0.74–1.14)	1.01 (0.91–1.12)

Estrogen as antioxidant

- ❖ Antioxidant protection of LDL by physiological concentrations of 17 beta-estradiol.

Shwaery GT et al. Circulation. 1997 Mar 18;95(6):1378-85.

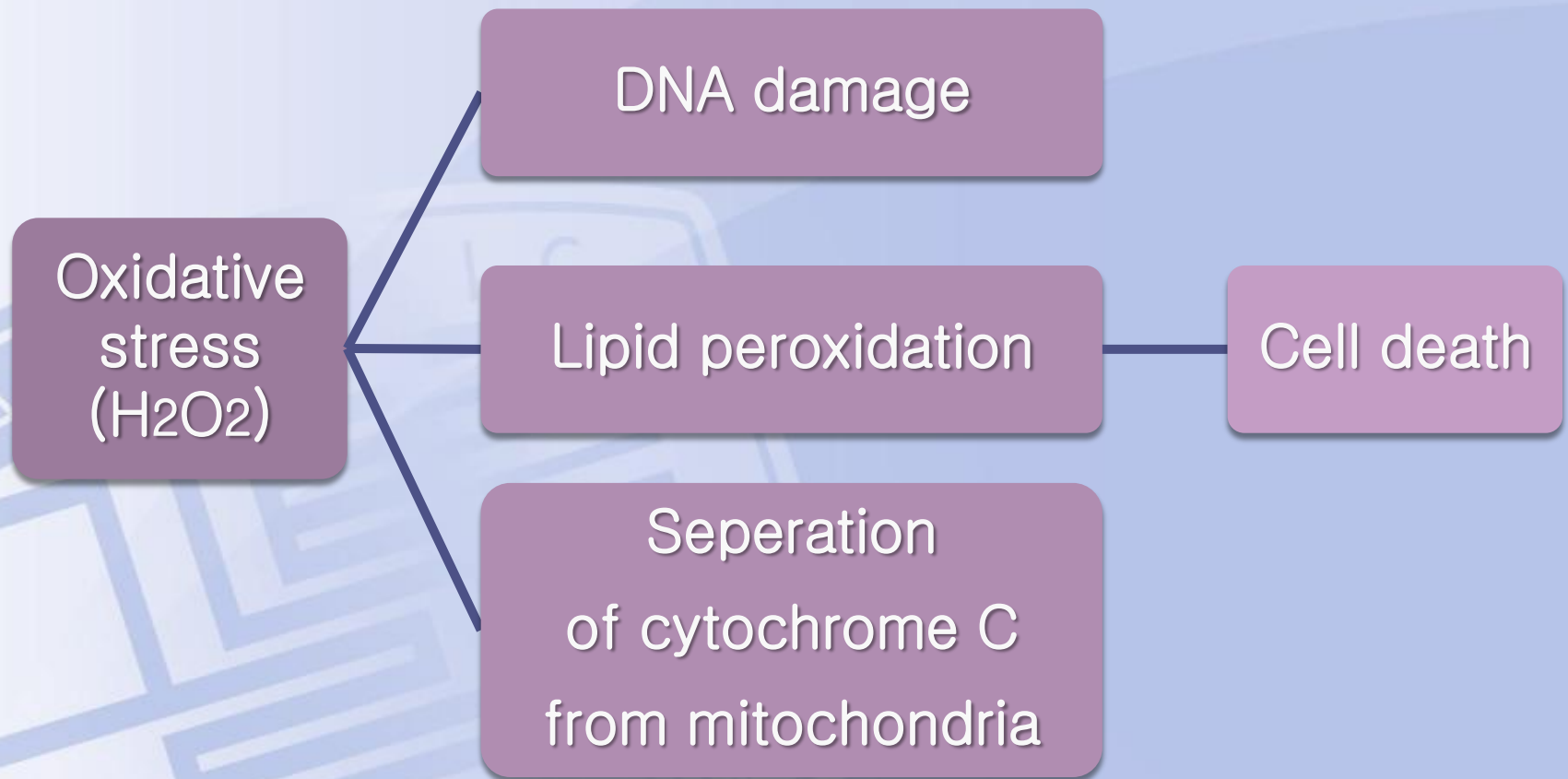
- ❖ The inhibition of low-density lipoprotein oxidation by 17-beta estradiol. *Rifici VA et al. Metabolism. 1992 Oct;41(10):1110-4.*

- ❖ Effects of oral estrogen on aortic ROS-generating and -scavenging enzymes and atherosclerosis in apoE-deficient mice. *Wing LY et al. Exp Biol Med (Maywood). 2009 Sep;234(9):1037-46. Epub 2009 Jun 22.*

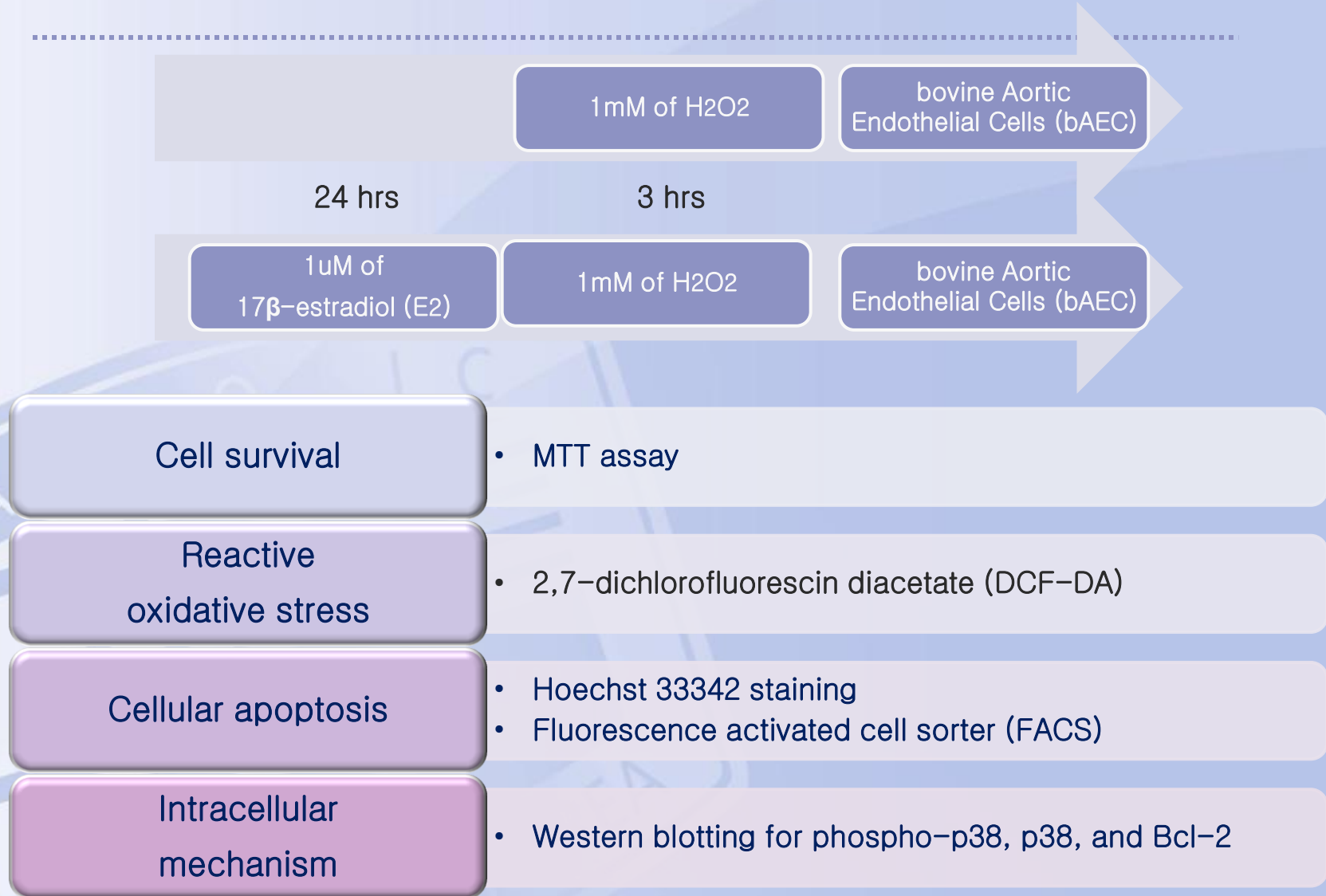
Long-term oral estrogen treatment reduces ROS levels and atherosclerosis progression in apoE(-/-) mice. Oral estrogen alters ROS-generating and -scavenging enzyme expression, suggesting that anti-oxidative actions in the vessel wall contribute to atheroprotective effects of estrogen.

Objectives

- ❖ 대동맥 혈관 내피세포에
Hydrogen peroxide (H_2O_2)를 이용한
직접적인 산화자극에 대한
Estrogen의 작용을 알아보고
그 작용 기전에 대하여 알아보는데 목적이 있다.



Materials & Methods



Materials & Methods (contin.)

1. 세포배양 및 전처치

소혈관 내피세포주인 bAEC(bovine Aortic Endothelial Cell), DMEM (Dulbecco's Modified Eagle Medium, Gibco/BRL, MD, U.S.A.)

대조군은 산화자극을 가하기 위하여 30%의 H₂O₂(Sigma Chemicals, St. Louis, MO, U.S.A.)를 단독처리 하였으며, 에스트로겐 처리군은 1 μM의 17β-estradiol(E₂) (Sigma Chemicals, St. Louis, MO, U.S.A.)을 산화자극을 가하기 24시간 전에 투여하여 전배양

2. 산화자극과 MTT분석

96 well plate에 1×10^4 /mℓ 개의 bAEC 세포를 배양시켜 대조군은 30%의 H₂O₂ (Sigma Chemicals)를 인산완충용액(PBS)에 500 μM로 희석하여 15, 30, 60분 동안 산화자극을 가하였으며, 에스트로겐 처리군은 1 μM의 17β-estradiol(E₂)을 24시간 전에 처리하여 전배양 후 15, 30, 60분동안 산화자극을 가했다.

세포의 산화제에 대한 감수성 평가는 tetrazolium based colorimetric assay 방법을 변형한 MTT[3-(4,5-dimethylthiazol-2-yl) -2,5-diphenyl-tetrazolium bromide] (Colorimetric assay kit, Chemicon Inc. CA, U.S.A.) 측정방식을 이용하여 450 nm에서 흡광도를 측정했다.

Materials & Methods (contin.)

3. 세포 내 reactive oxygen species (ROS) 측정

6 well tissue culture dish에 $5 \times 10^4/\text{m}\ell$ 개의 bAEC 세포를 배양하고 1 mM 농도의 H_2O_2 에 3시간 노출시켰다. 에스트로겐 처리군은 1 μM 의 17 β -estradiol을 산화 자극을 가하기 24시간 전에 투여하여 전배양 한 후에 같은 방법으로 산화자극.

이후에 PBS 완충용액으로 2회 세척, 30 μM 의 2,7-dichlorofluorescin diacetate (DCF-DA (Sigma Chemicals, St. Louis, MO, U.S. A.)를 첨가하여 1시간 동안 CO_2 를 5% 함유한 37°C incubation – 세척 후 flow cytometer (FACScan, Becton-Dickinson, Mountain View, CA, U.S.A.)로 분석.

4. 세포자멸사의 형태학적 관찰

4 well chamber slide에 $1 \times 10^4/\text{m}\ell$ 개의 bAEC 세포를 배양하고 1 mM 농도의 H_2O_2 에 3시간 노출. 에스트로겐 처리군은 방법 2와 같이 전처치 후 역시 H_2O_2 에 3시간 노출. 인산염완충식염수로 2회 세척하고 3.7% formaldehyde로 세포를 고정시키고, 다시 인산염완충식 염수로 3회 씻어 낸 후 10 $\mu\text{g}/\text{m}\ell$ 의 Hoechst 33342 (Sigma Chemicals, St. Louis, MO, U.S.A.)를 첨가하여 1시간동안 실온의 암실에서 반응 시키고 세척 후 형광 현미경으로 관찰했다.

Materials & Methods (contin.)

5. Western blotting

- ❖ $2 \times 10^5/\text{ml}$ 개의 bAEC 세포를 100 mm^2 dish에 배양시켜 30%의 H_2O_2 를 인산완충 용액 (PBS)에 1 mM로 희석하여 3시간 동안 산화자극을 가했다. 에스트로겐 처리군은 역시 위와 동일한 방법으로 전 처리 후 3시간 동안 산화자극을 가했다.
- ❖ phospho-p38의 활성 억제를 확인하고자 대조군과 에스트로겐 처리 군에서 SB203580(Sigma Chemicals)를 $20 \mu\text{M}$ 농도로 1시간 전처리한 후 산화 자극을 가하였다.
- ❖ 일차항체는 phospho-p38, p38 MAP kinase (Thr180/Tyr182) (Cell signaling Technology, Beverly, MA, U.S.A.), Bcl-2 (Santa Cruz Biotechnology, Santa Cruz, CA, U.S.A.) 항체

Materials & Methods (contin.)

6. 형광표지세포분리기(fluorescence activated cell sorter, FACS)를 이용한 세포자멸사 분석

인산염완충식염수로 세척한 후 $100 \mu\text{l}$ 의 Annexin V binding buffer(140 mM NaCl, 10 mM Hepes, pH 7.4, 25 mM CaCl₂)로 재부유시켰다. $5 \mu\text{l}$ 의 Annexin V -FITC conjugate와 $5 \mu\text{l}$ 의 propidium iodide (PI)를 넣어 암 실에서 15분간 반응시켰다. $400 \mu\text{l}$ 의 Annexin V binding buffer를 재첨가하여 FACScan (Becton-Dickinson)으로 분석.

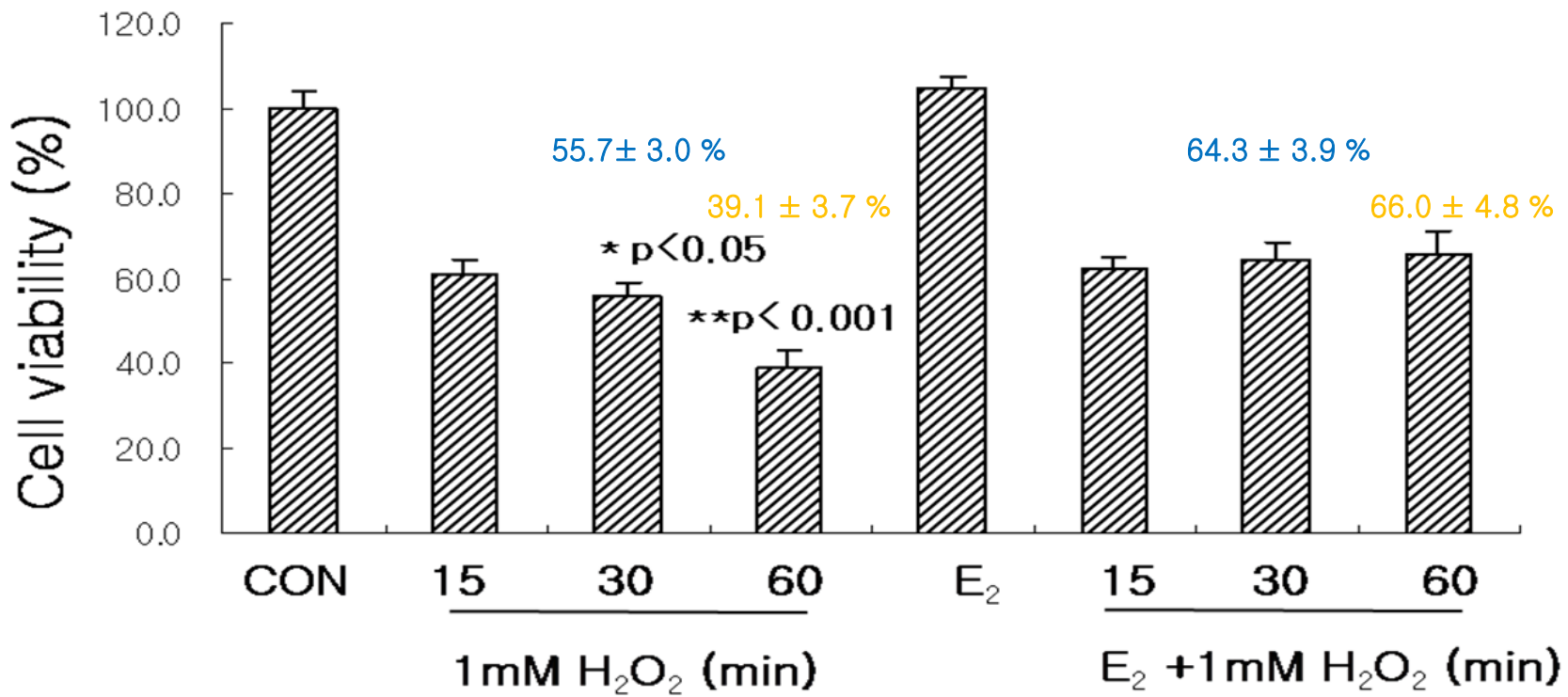
7. 통계분석 (Statistical analysis)

같은 실험을 3회에 걸쳐서 반복하여 결과를 얻으며, 모든 자료는 평균 \pm 표준 편차로 표시하고, 각 군들 사이의 비교는 SPSS (SPSS Inc, Chicago, U.S.A)를 사용하여 t-test로 분석. 통계학적 유의 수준은 $P < 0.05$ 로 정의.

Results

– cell survival by MTT assay

17 β -estradiol inhibited H₂O₂ induced bAEC death.



Results

– cellular apoptosis by Hoechst 33342 staining

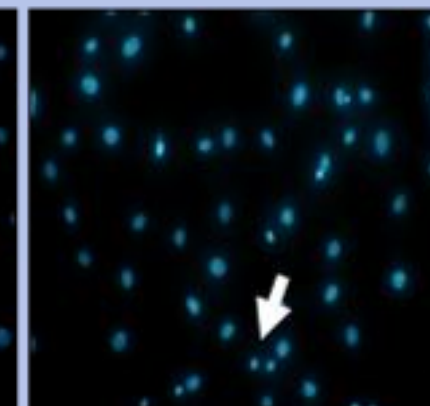
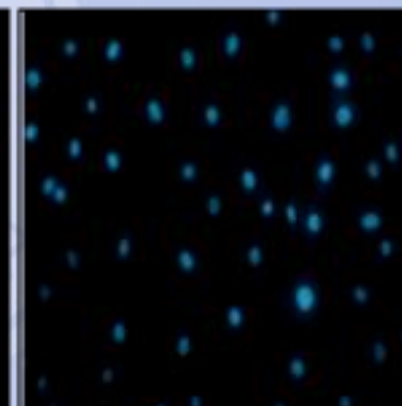
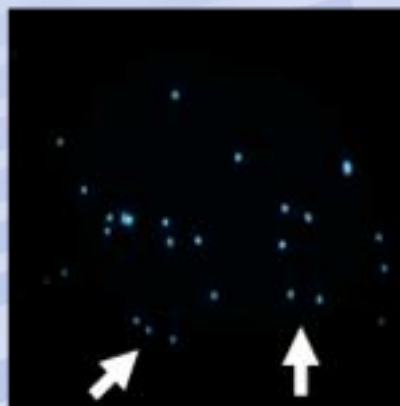
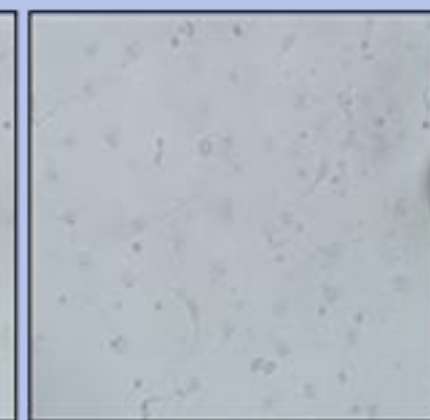
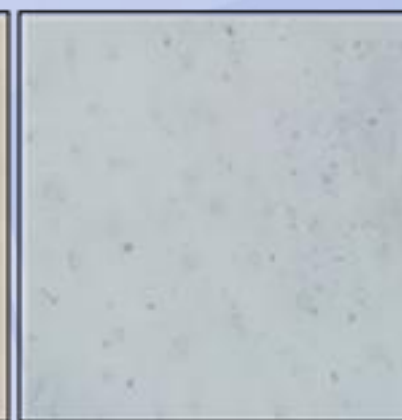
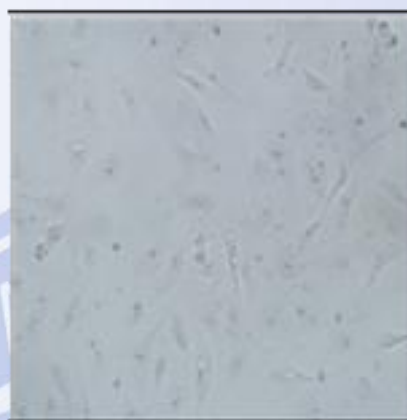
17 β -estradiol reduced apoptotic bodies and nuclear chromatin condensation.

CON

H₂O₂

E₂

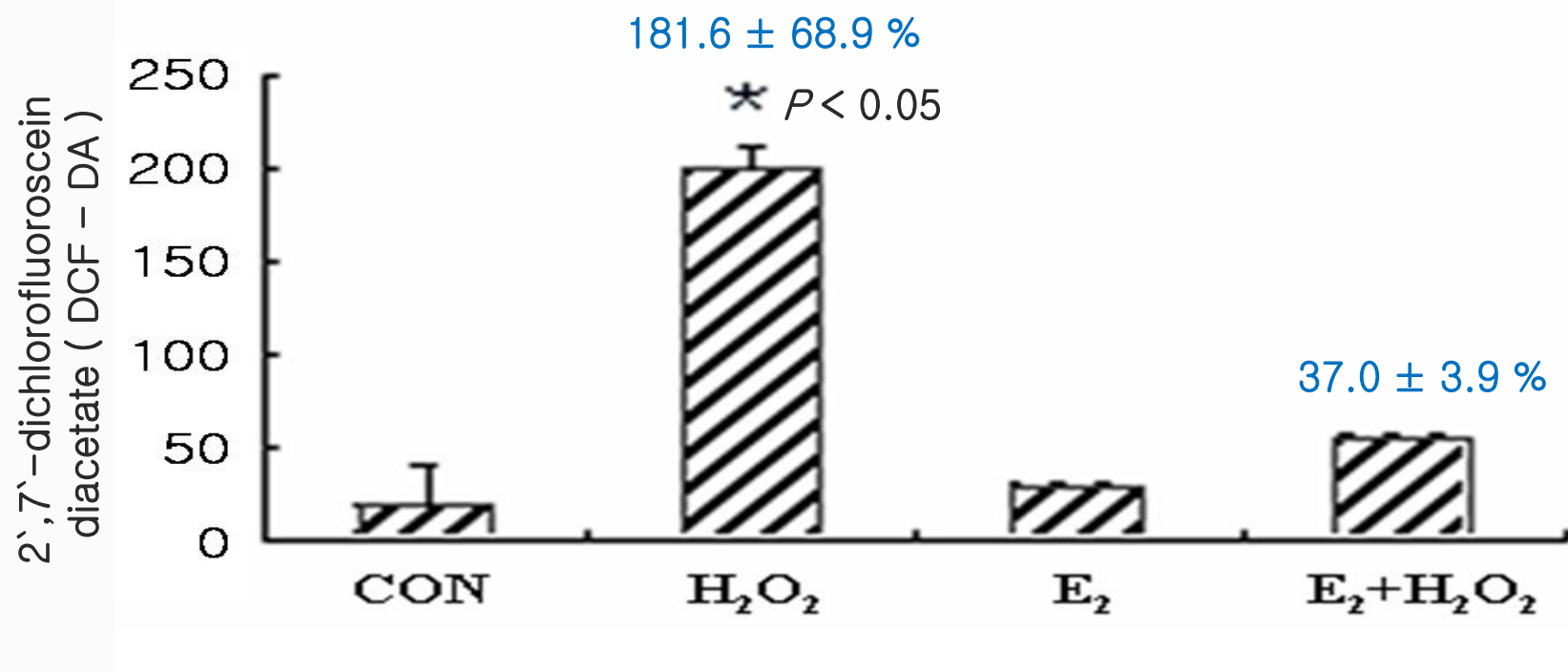
E₂+H₂O₂



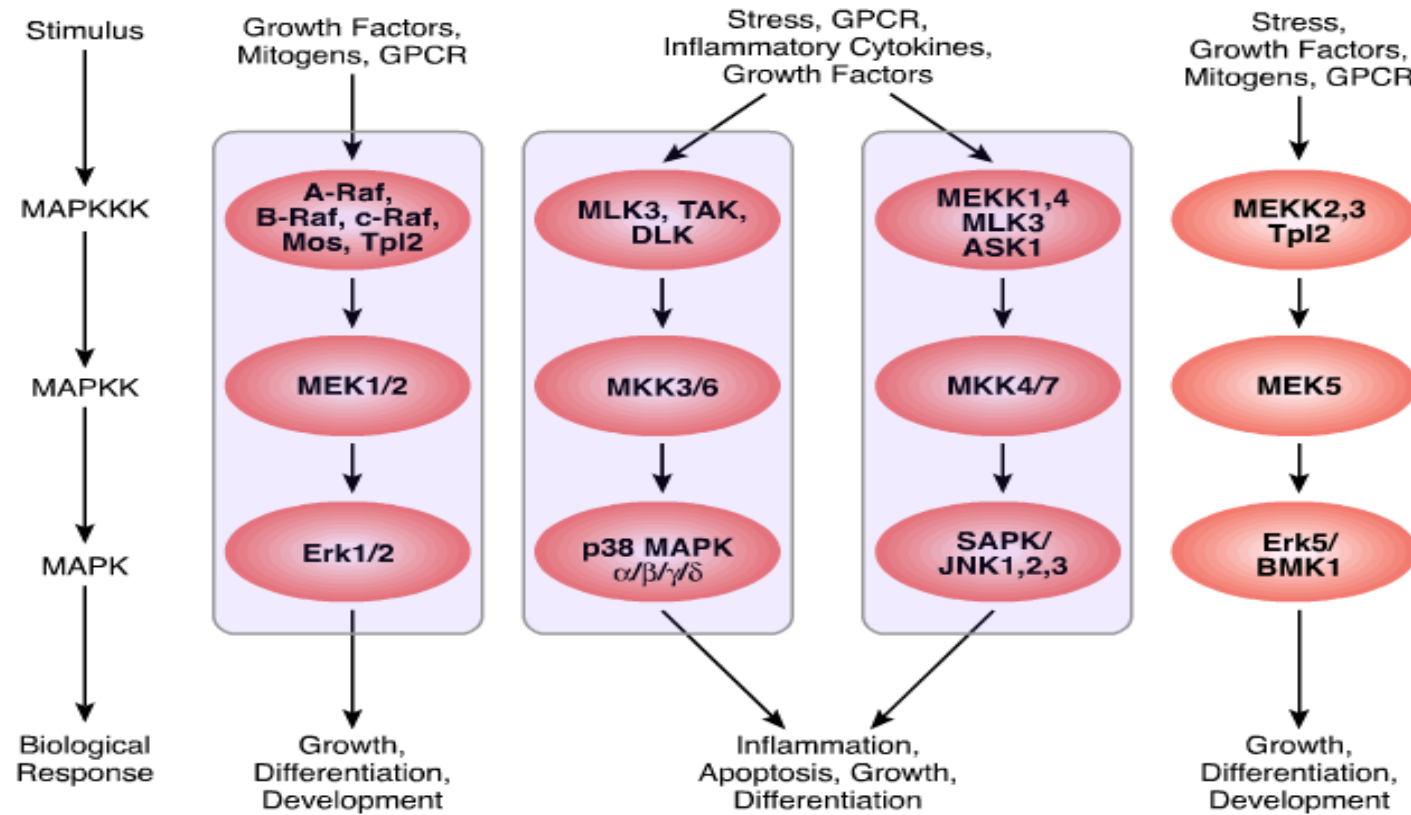
Results

- Reactive oxygen species by DCF-DA

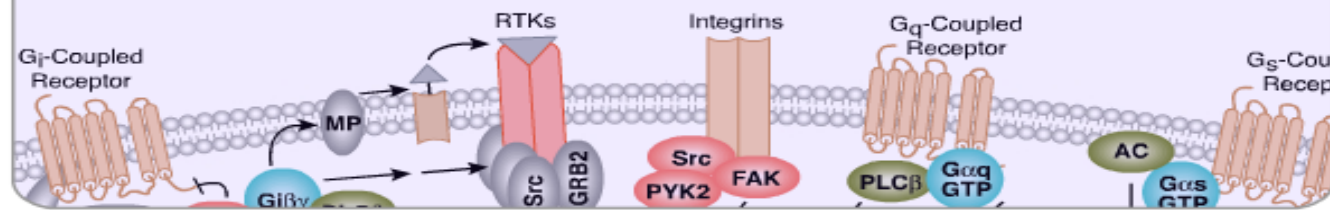
17 β -estradiol inhibited intracellular ROS production.



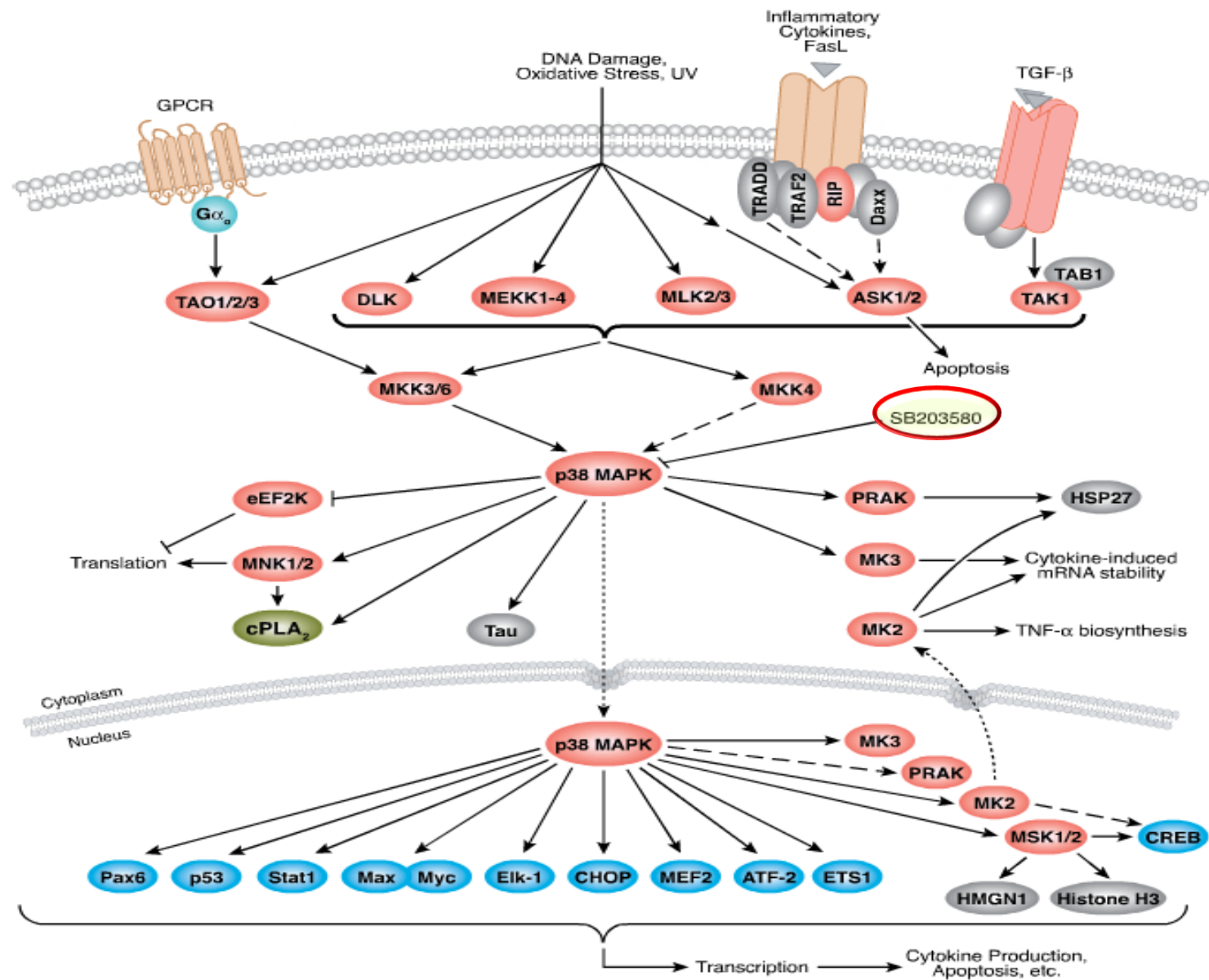
Mitogen-Activated Protein Kinase Cascades



G-Protein-Coupled Receptors Signaling to MAPK/Erk



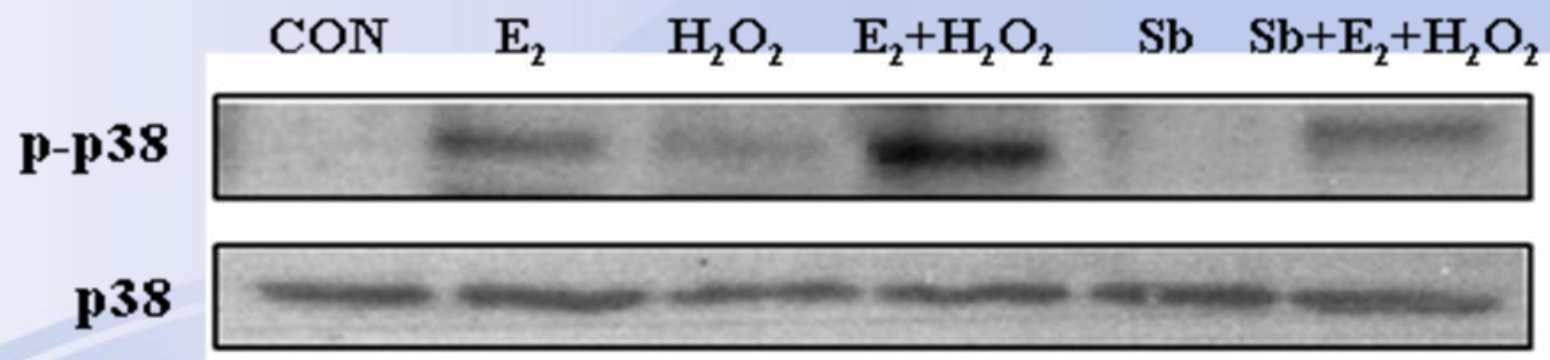
p38 MAPK Signaling Pathways



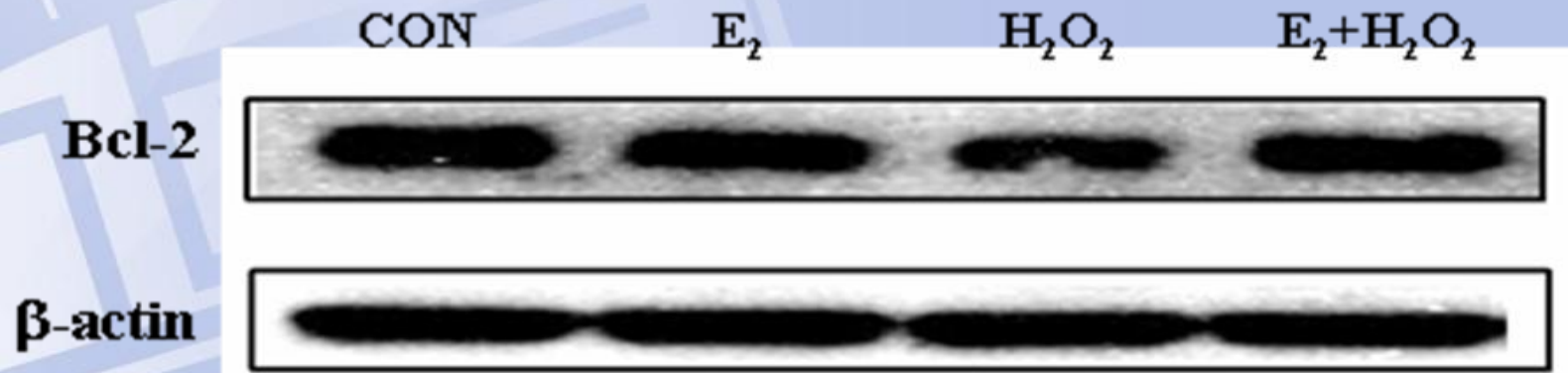
Results

- intracellular mechanism of apoptosis after oxidative stress by western blotting for phospho-p38, p38, and Bcl-2

A



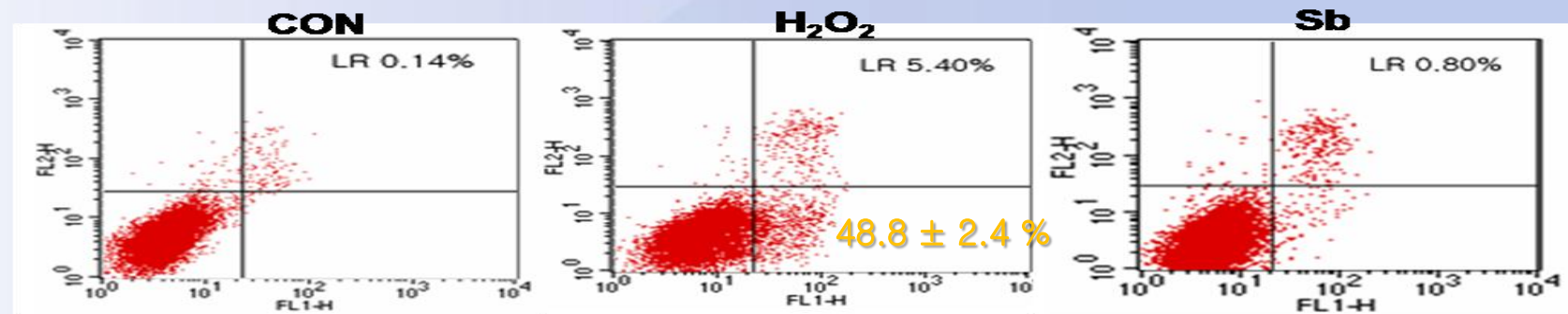
B



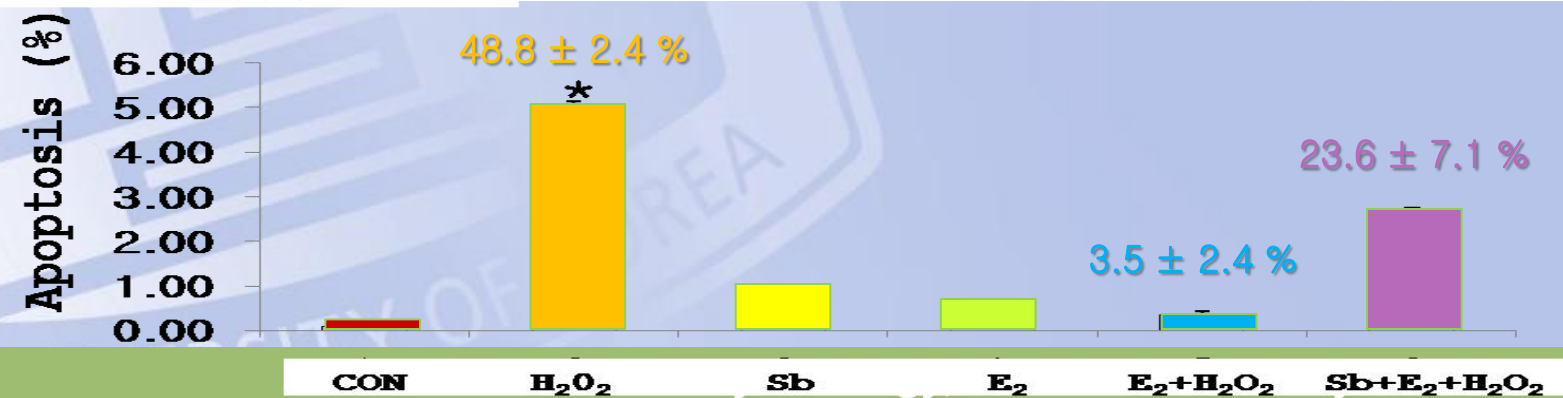
Results

– cellular apoptosis by FACS
with Annexin V and propidium iodide (PI).

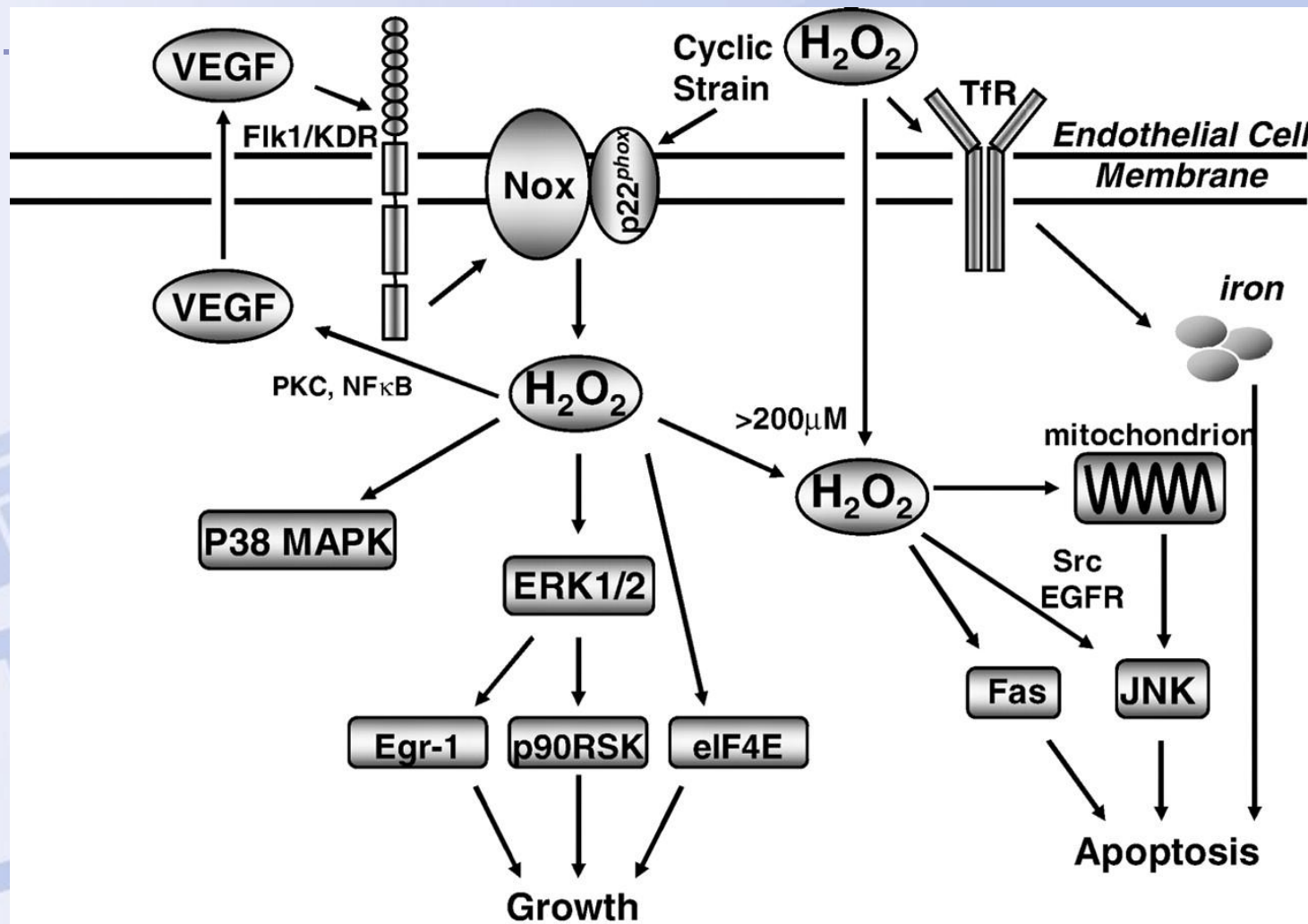
A



B



Signaling events mediating hydrogen peroxide modulation of endothelial cell growth and apoptosis.



Cai H Cardiovasc Res 2005;68:26-36

Limitations

- ◊ Bovine aortic endothelial cells
- ◊ In vitro experiment



Conclusion

- ❖ 소의 대동맥내피세포에서 E2의 전처치는 H_2O_2 에 대한 직접적인 산화자극에 대해서 혈관내피세포를 보호하는 작용을 하였다.
- ❖ E2는 세포 내의 Reactive oxygen species를 줄이고, antiapoptotic effect를 보였다.
- ❖ 이러한 보호작용에 대한 기전으로는 세포 내 p38 MAP Kinase를 활성화시키는 것으로 생각되며, 향후 이러한 기전에 대한 연구가 더 필요하다.
- ❖ 따라서, 여성 호르몬 치료가 폐경 여성에서 산화자극에 대하여 cardiovascular integrity 유지에 중요한 역할을 할 것이라는 과학적 근거로 제시될 수 있겠다.

Thank you
for your attention !!

